



УДК 547.963.3:577.113.6

СЕНСИБИЛИЗИРОВАННАЯ ФОТОМОДИФИКАЦИЯ ДНК БИНАРНЫМИ СИСТЕМАМИ ОЛИГОНУКЛЕОТИДНЫХ КОНЬЮГАТОВ. V*. ВЛИЯНИЕ СТРОЕНИЯ ДНК-МИШЕНИ. КОЛИЧЕСТВЕННАЯ ФОТОМОДИФИКАЦИЯ

© 1999 г. М. И. Добриков[#], С. А. Гайдамаков, Т. И. Гайнутдинов, Т. М. Иванова, В. В. Власов

Новосибирский институт биоорганической химии СО РАН,
630090, Новосибирск, просп. Акад. Лаврентьева, 8

Поступила в редакцию 23.03.98 г. Принята к печати 18.06.98 г.

Изучена сенсибилизированная фотомодификация ряда одноцепочечных ДНК-мишней бинарными системами олигонуклеотидных коньюгатов, комплементарных соседним участкам ДНК. Один из коньюгатов содержал сенсибилизатор – пирен, антрацен или 1,2-бензантрацен, второй – фотопротеин – 4-азидотетрафторбензальгидразон. Сенсибилизированная фотомодификация инициируется светом 365–580 нм за счет эффективного переноса энергии с фотовозбужденного сенсибилизатора на фотопротеин в комплементарном комплексе бинарной системы с ДНК-мишенью, в котором сенсибилизатор и фотопротеин стерически сближены.

Найдены условия осуществления количественной фотомодификации одноцепочечной ДНК бинарной системой олигонуклеотидных коньюгатов. Предельная степень фотомодификации зависит от числа остатков гуанозина в (pG)_n-последовательности ДНК-мишней в месте модификации: при $n = 1$ выход ковалентных аддуктов составил 62–68%, при $n = 2$ – 75–82% и при $n = 4$ – 98–99%.

Ключевые слова: антисмыловые олигонуклеотиды; фотомодификация ДНК; перенос энергии; сенсибилизация.

Реакционноспособные олигонуклеотидные коньюгаты – перспективные инструменты для селективного подавления экспрессии генов и потенциальные противовирусные и противоопухолевые препараты [2, 3].

Фотоакционноспособные производные олигонуклеотидов, несущие остатки псораленов [4–6], порфиринов [7, 8], хлоринов [9], металлотексафиринов [10, 11], полиароматических азидов [12], нафто- [13] и антрахинонов [14, 15], обладают значительными преимуществами перед химически активными производными. Они нетоксичны и инертны в темноте. Процесс фотоактивации легко регулировать во времени [9, 16]. Многие фотопротеины при облучении длинноволновым видимым [7–12] и даже ИК-светом [10, 11, 16] генерируют высокореакционноспособные частицы, способные ковалентно присоединяться к нукleinовым кислотам [4–6, 12, 13] или расщеплять их [7–11, 14, 15].

Фотоактивные коньюгаты антисмыловых олигонуклеотидов связываются с вирусной РНК и после облучения ингибируют трансляцию [8]. Фотоактивные олигонуклеотидные коньюгаты, спо-

собные образовывать триплексы с двухцепочечной ДНК, после облучения ингибируют репликацию и транскрипцию *in vitro* [4–6] и *in vivo* [5, 6].

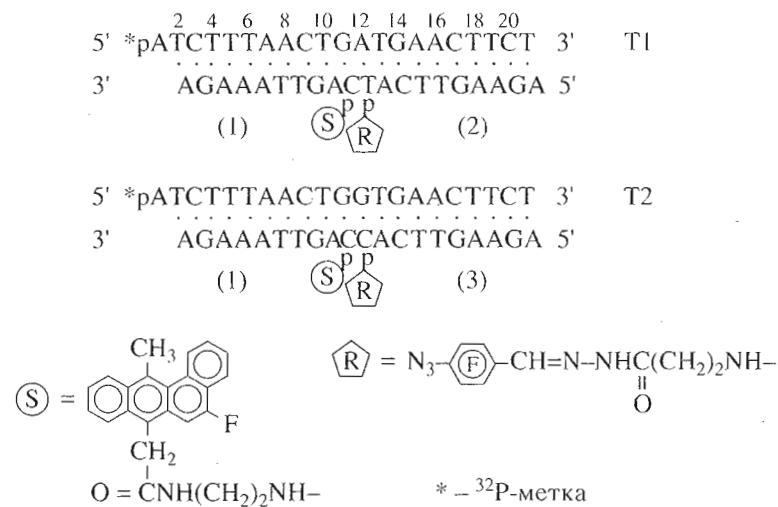
Увеличение эффективности и специфичности воздействия реакционноспособных коньюгатов олигонуклеотидов – одна из основных задач на пути создания ген-направленных биологически активных веществ терапевтического приложения [2, 3]. Для увеличения специфичности фотомодификации ДНК нами предложены бинарные системы олигонуклеотидных коньюгатов [1, 17–23]. Такие системы состоят из двух олигонуклеотидов, комплементарных соседним участкам мишени и несущих остатки сенсибилизатора и фотопротеина. В качестве сенсибилизаторов были использованы полициклические ароматические соединения на основе пирана [17, 18, 21, 23], 1,2-бензантрацена [19, 20] и перилена [1, 22], в качестве фотопротеинов – перфторированные ароматические азиды.

При связывании коньюгатов с ДНК-мишенью сенсибилизатор и фотопротеин стерически сближаются и формируют фотоакционноспособный центр, обладающий новыми свойствами. Облучение длинноволновым светом комплекса коньюгатов с ДНК-мишенью приводит к возбуждению сенсибилизатора, активации реагента за счет эффективного переноса энергии с фотовоз-

*Префикс “d” в обозначениях дезоксирибоолигонуклеотида опущен.

* Сообщение IV см. [1].

[#] Автор для переписки.



Изученные комплексы:

- | | | |
|-----------------------|-----------------------|-------------------------|
| (I) = T1 + (2) | (II) = T1 + (1) + (2) | (III) = T1 + (3) |
| (IV) = T1 + (1) + (3) | (V) = T2 + (3) | (VI) = T2 + (1) + (3) |
| | (VII) = T2 + (2) | (VIII) = T2 + (1) + (2) |

Схема 1.

бужденного сенсибилизатора и последующей фотомодификации ДНК.

Увеличение специфичности фотомодификации ДНК бинарными системами олигонуклеотидных конъюгатов по определенной последовательности достигается за счет независимого связывания двух олигонуклеотидов с общей длиной, достаточной для однозначного узнавания выбранной последовательности ДНК-мишени. Сенсибилизированная фотомодификация инициируется светом только после образования комплементарного комплекса бинарной системы с ДНК-мишенью в условиях, когда ни реагент, ни сенсибилизатор по отдельности не являются реакционноспособными [1, 22]. За счет этого устраняется возможность неспецифических реакций конъюгатов.

Для достижения значимых биологических эффектов при воздействии на ДНК *in vivo* необходимо, чтобы эффективность модификации была высокой [3]. При фотомодификации ДНК бинарными системами олигонуклеотидных реагентов эффективность сенсибилизированной реакции зависит от реакционной способности фотопротеина по отношению к нуклеотидам целевой последовательности ДНК-мишени и от геометрических параметров комплекса. Влияние на эффективность фотомодификации строения фотопротеина [24, 25], длины линкера [21] и способа присоединения фотопротеина (к гетероциклическому основа-

нию [24], 3'- или 5'-концевому фосфату [21, 24]) изучены ранее.

Для увеличения эффективности сенсибилизированной фотомодификации ДНК бинарными системами олигонуклеотидных конъюгатов в данной работе изучена зависимость выхода продуктов модификации от нуклеотидной последовательности ДНК-мишени в предполагаемом сайте модификации.

Строение ДНК-мишени (T1) и (T2), различающихся остатком в положении 12 (соответственно — А и Г), и олигонуклеотидных конъюгатов (1), (2) и (3) приведено на схеме 1. Синтез конъюгата (1), несущего остаток сенсибилизатора — 2-[5-(5-фтор-12-метил-1,2-бензантрацен-7-ил)акетил]этапамина, и конъюгата (2), несущего остаток фотопротеина — 3-(4-азидотетрафторбензилиден)гидразон-3-оксопропиламина, был описан ранее [19, 20]. Конъюгат (3), отличающийся от конъюгата (2) 3'-концевым основанием, получен аналогично. Прямую и сенсибилизированную фотомодификацию изучали в полностью и неполностью комплементарных комплексах (I)–(VIII) (схема 1).

Фотомодификация комплементарной мишени T1 олигонуклеотидным реагентом (2) в составе комплексов (I) и (II) приводит к образованию двух основных ковалентных аддуктов с электрофоретической подвижностью, соответствующей присоединению одного (M) и двух (D) остатков олигонуклеотидных реагентов (рис. 1, дор. 3–12). При

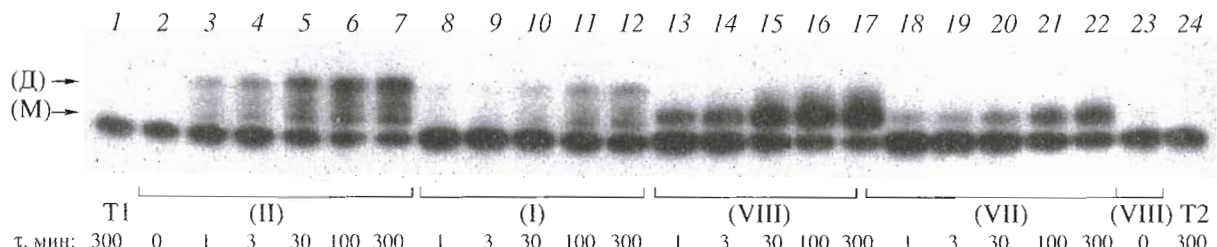


Рис. 1. Радиоавтограф геля, полученный при прямой (8-12, 18-22) и сенсибилизированной (3-7, 13-17) фотомодификации $5'$ - ^{32}P -меченых ДНК-мишней T1 (2-12) и T2 (13-23) олигонуклеотидным реагентом (2) при облучении видимым светом 400-440 нм, концентрации компонентов [T1] = [T2] 0,1 мкМ, [1] = [2] 50 мкМ в комплексах: T1 - I; (II) - 2-7; (I) - 8-12; (VIII) - 13-17, 23; (VII) - 18-22; T2 - 24. Время облучения, мин: 0 - 2, 23; 1 - 3, 8, 13, 18; 3 - 4, 9, 14, 19; 30 - 5, 10, 15, 20; 100 - 6, 11, 16, 21; 300 - 1, 7, 12, 17, 22, 24. (M) и (D) - ковалентные аддукты, по электрофоретической подвижности соответствующие присоединению одного и двух остатков олигонуклеотидного реагента (2) к ДНК-мишням.

модификации этим же реагентом неполностью комплементарной ДНК-мишени T2 в составе комплексов (VII) и (VIII) в основном образуется один аддукт, по электрофоретической подвижности соответствующий присоединению одного олигонуклеотидного реагента к мишени (дор. 13-22). Не наблюдается образования ни ковалентных аддуктов, ни продуктов спонтанного расщепления при выдерживании комплексов (II) (дор. 2) и (VIII) (дор. 23) в темноте или при облучении ДНК-мишней T1 (дор. 1) и T2 (дор. 24) в отсутствие конъюгатов.

Начальная скорость (дор. 18) и предельная степень прямой (дор. 22) и сенсибилизированной фотомодификации (дор. 13, 17) мишени T2 выше, чем комплементарной мишени T1 (дор. 8, 12 и 3, 7 соответственно).

Полученные результаты можно объяснить тем, что эффективность протекания реакции по остатку G¹² в мишени T2 намного больше, чем по остатку A¹² в мишени T1, и это – определяющий фактор. В связи с этим изучена фотомодификация мишени T2 комплементарным ей олигонуклеотидным реагентом (3) и сопоставлена с модификацией неполностью комплементарным реагентом (2) (рис. 2). Было найдено, что при фотомодификации мишени T2 в комплементарных комплексах (V) и (VI) начальная скорость и предельная степень модификации (кривые 3, 4) выше, чем в неполностью комплементарных комплексах (VII) и (VIII) (кривые 1, 2 соответственно).

Сравнение фотомодификации двух мишней комплементарными им олигонуклеотидными реагентами в комплексах (I), (II), (V), (VI) подтверждает, что предельная степень сенсибилизированной (рис. 2, 4) и особенно прямой (рис. 2, 3) фотомодификации мишени T2 (75 и 72%) больше, чем мишени T1 (68 и 41%, рис. 1, дор. 7, 12 соответственно). Следовательно, эффективность фотомодификации возрастает в том случае, когда в предполагаемом месте модификации ДНК-мишени находятся два остатка гуанозина.

Для определения позиционной направленности реакции фотомодификации в комплементарных (I), (II), (V), (VI) и неполностью комплементарных (III), (IV), (VII), (VIII) комплексах реакционные смеси расщепляли пиперидином (рис. 3). Деградации облученных в отсутствие фотореагентов мишней T1 (дор. 7) и T2 (дор. 11) не наблюдается. Прямая и сенсибилизированная фотомодификация мишней T1 и T2 в комплементарных комплексах (панель а) протекает по остатку G¹¹ (дор. 1, 2) и по остаткам G¹¹, G¹² (дор. 5, 6 соответственно). Фотомодификация мишней T1 и T2 в неполностью комплементарных комплексах (панель б) протекает менее эффективно и менее специфично. Основное расщепление ДНК T1 наблюдается по остаткам G¹¹ и T¹³, незначительное расщепление происходит по остаткам T¹⁰ и A¹² (дор. 8, 9). Обработка пиперидином фотомодифи-

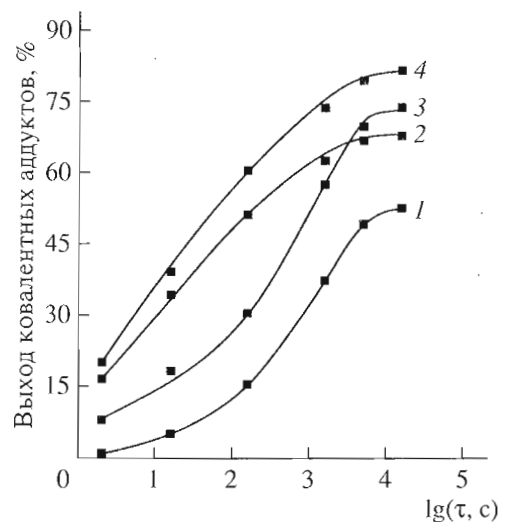


Рис. 2. Выход ковалентных аддуктов при прямой (1, 3) и сенсибилизированной конъюгатом (1) (2, 4) фотомодификации мишени T2 олигонуклеотидными реагентами (2) (1, 2) и (3) (3, 4). Концентрации компонентов и условия облучения как на рис. 1.

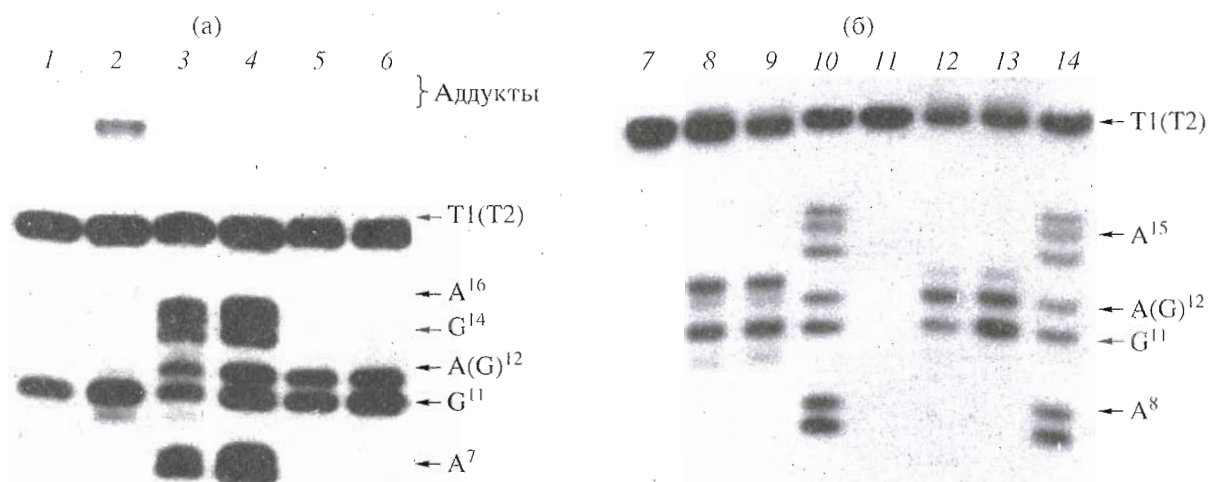


Рис. 3. Радиоавтограф геля, полученного после пиперидинового расщепления (1M , 95°C , 30 мин) продуктов фотомодификации $5'-^{32}\text{P}$ -меченых ДНК-мишней T1 и T2 в комплементарных (а) и неполностью комплементарных (б) комплексах, облученных 300 мин светом (365–580 нм): (I) – I; (II) – 2; (V) – 5; (VI) – 6; T1 – 7; (III) – 8; (IV) – 9; T2 – 11; (VII) – 12; (VIII) – 13; A+G-расщепление ДНК-мишней T1 – 3, 10 и T2 – 4, 14.

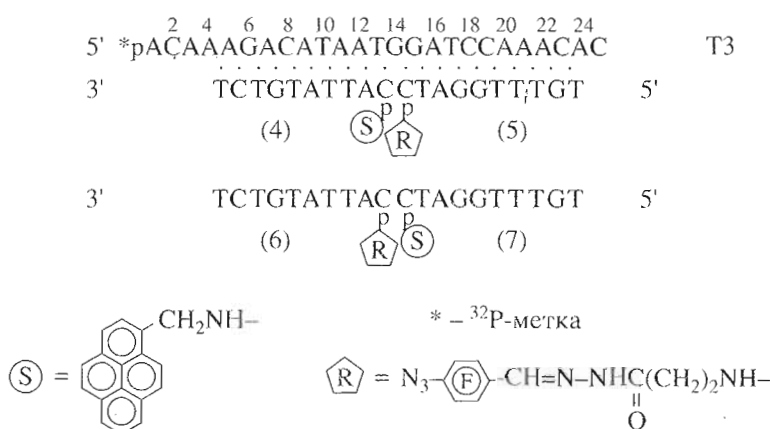
цированной мишени T2 приводит к преимущественному расщеплению по остаткам G^{11} , G^{12} и в меньшей степени по остатку T^{13} (дор. 12, 13).

Полученные данные подтверждают выше сделанное предположение о том, что остаток G^{12} в ДНК-мишени T2 подвергается фотомодификации более эффективно даже в неполностью комплементарном комплексе (VIII) (рис. 3, дор. 12, 13), чем остаток A^{12} в мишени T1 (рис. 3, дор. 1, 2).

Влияние расположения фотопротеина на 3'- или 5'-концевом фосфате на эффективность фо-

томодификации ДНК-мишени T3, содержащей два остатка гуанозина в предполагаемом сайте модификации (схема 2), было изучено на другой системе бинарных реагентов для того, чтобы сопоставить полученные данные с ранее опубликованными нами результатами [21].

В качестве ДНК-мишени была использована 25-звенная синтетическая последовательность (T3), соответствующая последовательности РНК вируса гриппа. Фотомодификацию проводили декануклеотидными конъюгатами (4)–(7), компле-



Изученные комплексы:

$$\begin{array}{lll}
 (\text{IX}) = \text{T3} + (5) & (\text{X}) = \text{T3} + (4) + (5) & (\text{XI}) = \text{T3} + (6) \\
 (\text{XII}) = \text{T3} + (6) + (7) & (\text{XIII}) = \text{T3} + (5) + (6)
 \end{array}$$

Схема 2.

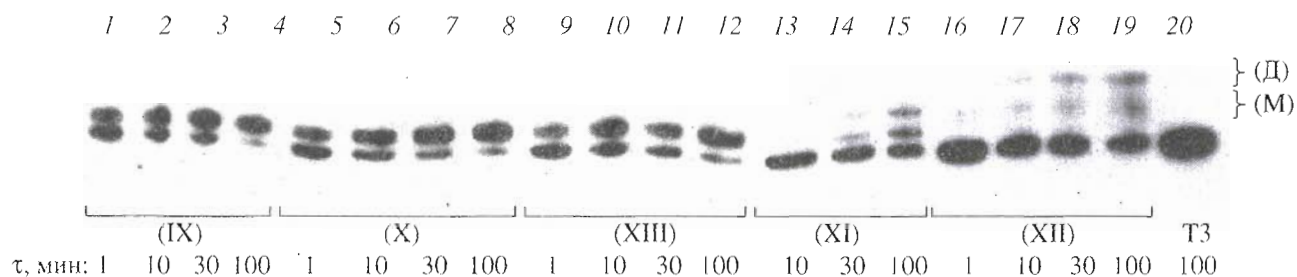


Рис. 4. Радиоавтограф геля, полученный при фотомодификации $5'-^{32}\text{P}$ -меченой мишени T3 олигонуклеотидными реагентами (5) и (6) при облучении светом (365–580 нм), в комплексах (IX) – 1–4; (X) – 5–8; (XIII) – 9–12; (XI) – 13–15; (XII) – 16–19; T3 – 20. Концентрации компонентов [T3] 1 мкМ, (4), (5), (6), (7) по 50 мкМ. Время облучения, мин: 1 – 1, 5, 9, 16; 10 – 2, 6, 10, 13, 17; 30 – 3, 7, 11, 14, 18; 100 – 4, 8, 12, 15, 19, 20. (M) и (D) – ковалентные аддукты, по электрофоретической подвижности соответствующие присоединению одного и двух остатков олигонуклеотидных реагентов (5) и (6) к ДНК-мишени.

ментарными участку $\text{A}^5\text{-A}^{24}$ ДНК-мишени. Синтез конъюгатов (4) и (7), несущих остатки сенсибилизатора – пиренил-1-метиламина, и конъюгатов (5) и (6), содержащих остатки фотопротеина R, проводили по ранее описанным методам [21]. Фотомодификацию мишени T3 проводили в комплексах (IX)–(XII) и в тандемном комплексе (XIII) с двумя фотоактивными конъюгатами (схема 2).

Прямая и сенсибилизированная фотомодификация 3'-концевым реагентом (5) приводит к высокоэффективному образованию аддукта (M), по электрофоретической подвижности соответствующего присоединению к мишени одной молекулы реагента (рис. 4, дор. 1–8). Фотомодификация конъюгатом (6) с 5'-концевым расположением реагента приводит к образованию двух аддуктов, с меньшей, чем в случае 3'-концевого реагента подвижностью (дор. 13–19).

И начальная скорость (рис. 4, дор. 1, 5), и предельная степень модификации (дор. 4, 8) при расположении фотопротеина на 3'-концевом фосфате намного выше, чем соответствующие характеристики для конъюгата с фотопротеином на 5'-концевом фосфате (дор. 13, 16 и 15, 19 соответственно). Это согласуется с ранее полученными данными по фотомодификации ДНК-мишени T1 [21].

На рис. 4 (дор. 9–12) представлены результаты фотомодификации мишени T3 тандемом олигонуклеотидных реагентов, несущих два фотоактивных остатка. Скорость и предельная степень прямой фотомодификаций в комплексах (IX) (дор. 1–4) и (XIII) (дор. 9–12) практически одинаковы, следовательно, вклад 5'-концевого реагента в суммарную степень модификации в тандеме (XIII) мал и такой подход не позволяет увеличить предельную степень модификации.

Предельные степени фотомодификации мишени T1, несущей один остаток гуанозина в месте модификации, олигонуклеотидным фотопротеином (2), сенсибилизированной олигонуклеотидным производным бензантрацена (1) или пирена [18],

составляют 68 и 62% соответственно. Предельные степени сенсибилизированной фотомодификации мишени T2 и T3, разных по последовательности, но несущих по два остатка гуанозина в предполагаемом месте модификации, заметно больше и достигают 75 и 82% соответственно.

Отсюда можно сделать заключение о том, что влияние на сенсибилизированную реакцию строения ДНК-мишени за пределами фотопротеиноспособного центра незначительно, но в сайте модификации строение мишени существенно влияет на предельную степень фотопротеинии.

Методом пиперидинового расщепления ковалентных аддуктов была изучена позиционная направленность прямой и сенсибилизированной фотомодификации ДНК-мишени T3 (табл. 1). Основная модификация 3'-концевым фотопротеином наблюдается по остаткам G^{14} и G^{15} (табл. 1, комплексы (IX), (X), (XIII)). При прямой фотомодификации 5'-концевым реагентом в дуплексе (XI) реакция идет в основном по остатку G^{15} , появление сенсибилизатора в комплексе (XII) снижает модификацию по остатку G^{15} и основной точкой модификации становится остаток G^{14} .

Помимо расщепления по остаткам G^{14} и G^{15} наблюдается слабое расщепление (менее 2%) по остаткам T^{13} и A^{16} . Аналогичное расщепление наблюдалось при фотомодификации T1 и T2 мишени по остаткам T^{10} и T^{13} , которое становилось особенно заметным при фотомодификации в не полностью комплементарных комплексах (III), (IV), (VII) и (VIII) (рис. 3, дор. 8, 9, 12, 13). Исходя из этого, было сделано предположение, что дальнейшего увеличения степени модификации можно добиться в случае, если в этих положениях будет находиться остатки гуанозина.

Это предположение было проверено при фотомодификации одноцепочечной ДНК-мишени T4 новой бинарной системой олигонуклеотидных реагентов, представленных на схеме 3. В качестве ДНК-мишени T4 был использован 25-звенный

Таблица 1. Позиционная направленность прямой и сенсибилизированной фотомодификаций ДНК-мишени Т3 после 100 мин облучения светом (365–580 нм) и обработки пиперидином

Расположение фотопротектора	На 5'-конце		На 3'-конце		
	(XI)	(XII)	(IX)	(X)	(XIII)
Степень модификации после обработки пиперидином, %	36	38	66	62	67
Нерасцепившиеся аддукты, %	0	0	9	12	7
Продукты расщепления пиперидином по основаниям нуклеотидов	T ¹³ G ¹⁴ G ¹⁵ A ¹⁶	0 11 25 0	2 25 11 0	1 24 30 2	2 24 31 1
					3

фрагмент последовательности человеческого гена множественной лекарственной устойчивости, несущий в предполагаемом месте модификации тетрануклеотидную (pG)₄-последовательность (схема 3). Фотомодификацию проводили с помощью гептануклеотидных конъюгатов (8) и (9), несущих остатки 9-антраценметиламина и перфтора-рилазида R, соответственно.

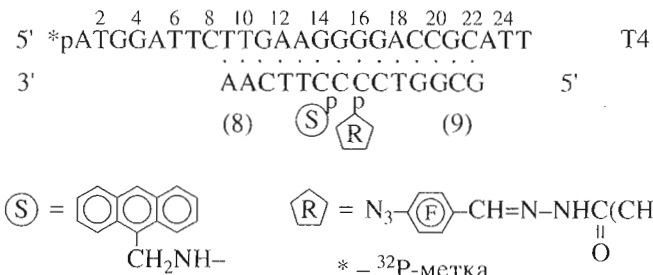
Антрацен был использован в качестве нового сенсибилизатора, поскольку энергия его первого возбужденного состояния ($E_S = 73$ ккал/моль) соизмерима с энергией возбуждения ранее использованного сенсибилизатора 7,12-диметил-1,2-бензантрацена ($E_S = 72$ ккал/моль) [26], а спектр поглощения антрацена сдвинут в длинноволновую область на 10 нм ($\lambda_{\text{макс}} 377$ и 367 нм соответственно) по сравнению со спектром поглощения бензантрацена. Это позволяет инициировать сенсибилизированную фотомодификацию ДНК более длинноволновым светом.

9-Аминометилантрацен был получен конденсацией 9-формилантрацена с гидроксиламином и последующим каталитическим восстановлением оксима водородом. Спектр поглощения 9-аминометилантрацена ($\lambda_{\text{макс}} 384$ нм) сдвинут батохром-

но на 7 нм относительно спектра антрацена. При присоединении сенсибилизатора к олигонуклеотиду максимум поглощения конъюгата (8) сдвигается в длинноволновую область еще на 4 нм, что свидетельствует о заметном стэкинг-взаимодействии антраценового остатка с гетероциклическими основаниями гептануклеотида.

Облучение видимым светом комплекса (XV) приводило к образованию ковалентных аддуктов (рис. 5). Начальная скорость сенсибилизированной фотомодификации была примерно в 50 раз выше, чем прямой. Предельный выход ковалентных аддуктов фотомодификации был высоким: в дуплексе (XIV) он достигал 82–85% за 200 мин облучения (дор. 7), а в комплексе (XV) – 98–99% за 10 мин облучения (дор. 11–13). Следовательно, наличие (pG)₄-последовательности в сайте модификации ДНК-мишени благоприятно сказывается на выходе фотопротектора.

Данные по пиперидиновому расщеплению облученных реакционных смесей, представленные в табл. 2, показывают, что суммарный выход продуктов сенсибилизированной фотомодификации выше, чем прямой. Основной точкой фотомодификации в комплексе (XIV) является остаток G¹⁶,



Изученные комплексы:

(XIV) = T3 + (9)

(XV) = T3 + (8) + (9)

Схема 3.

Таблица 2. Позиционная направленность прямой и сенсибилизированной фотомодификаций ДНК-мишени T4 после 200 мин облучения светом (365–580 нм) и обработки пиперидином

Комплексы		(XIV)	(XV)
Степень модификации после обработки пиперидином, %		76	92
Нерасщепившиеся аддукты, %		25	42
Продукты расщепления пиперидином по основаниям нуклеотидов	G ¹⁴	3	6
	G ¹⁵	10	20
	G ¹⁶	36	20
	G ¹⁷	2	4

находящийся в одноцепочечной части дуплекса. Наличие конъюгата (8) в комплексе (XV) приводит к тому, что основными продуктами сенсибилизированной фотомодификации становятся пиперидин-стабильные аддукты. Следует отметить, что в обоих комплексах расщепление преимущественно происходит по остаткам G¹⁵ и G¹⁶ и в меньшей степени по остаткам G¹⁴ и G¹⁷. Наличие дополнительного расщепления мишени T4 по остаткам G¹⁴ и G¹⁷ позволяет увеличить предельную степень ее модификации по сравнению с мишениями T2 и T3.

Из данных, полученных при фотомодификации четырех ДНК-мишений, следует, что предельные степени прямой фотомодификации мишений (T1 – 41%, T2 – 72%, T3 – 82% и T4 – 85%) возрастают при увеличении числа остатков гуанозина в сайте модификации. Предельные степени сенсибилизированной фотомодификации ДНК-мишений (68, 75, 85 и 99% соответственно) также возрастают при увеличении числа остатков гуанозина в сайте модификации. Во всех случаях степень сенсибилизированной фотомодификации выше, чем прямой.

В использованных условиях реакций все мишени целиком связаны в комплексы с 50-кратным избытком конъюгатов, следовательно, более высокая степень сенсибилизированной фотомодификации, вероятнее всего, определяется

способностью сенсибилизатора инициировать реакцию многократно.

Для подтверждения этого были изучены катализитические свойства впервые использованного в бинарных системах антраценового сенсибилизатора. Поскольку в этом случае эффективность прямой фотомодификации достаточно высока, за 100% на рис. 6 принималась разница между выходом модификации в комплексе (XV) и выходом прямой реакции в комплексе (XIV). При отсутствии катализитического эффекта сенсибилизатора должна наблюдаться линейная зависимость (рис. 6, прямая 1) выхода продуктов сенсибилизированной фотомодификации от соотношения концентраций олигонуклеотидов. Экспериментально она наблюдается при низких температурах фотомодификации и коротких экспозициях, когда обмен олигонуклеотидов между комплексами и раствором замедлен, и в фотореакцию успевают вступить только те молекулы, которые изначально находились в составе комплексов (XIV) и (XV). Данные, полученные в условиях, когда за время фотореакции состав комплементарных комплексов успевает многократно обменяться (кр. 2) свидетельствуют, что при 100-кратном недостатке сенсибилизатора по сравнению с мишенью T4, каждая его молекула позволяет инициировать фотомодификацию до 10 молекул ДНК-мишени. Очевидно, это свойство позволяет в случае мише-

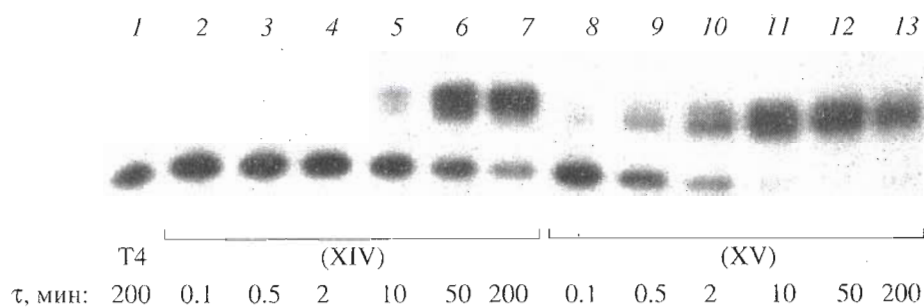


Рис. 5. Радиоавтограф геля, полученного после электрофоретического разделения продуктов прямой (2–7) и сенсибилизированной (8–13) фотомодификации 5'-³²P-меченой мишени T4 при облучении светом (380–580 нм). Концентрации, мкМ: T4 – 1 (XIV) и (XV) – 50; $t = 21^\circ\text{C}$. Время облучения, мин: 0.1 – 2, 8; 0.5 – 3, 9; 2 – 4, 10; 10 – 5, 11; 50 – 6, 12; 200 – 1 (T4), 7, 13.

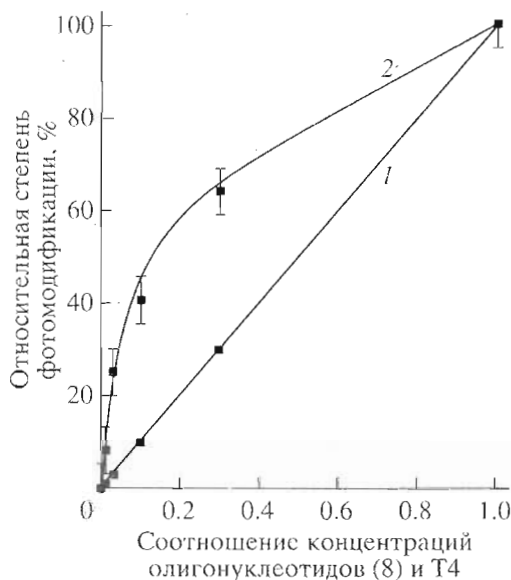


Рис. 6. Зависимость относительной степени сенсибилизированной фотомодификации от соотношения концентраций (8)/T4. 100% соответствует разности выходов продуктов суммарной модификации в комплексе (XV) и прямой модификации в комплексе (XIV) при эквимолярном соотношении (8) и T4; концентрации, мкМ: T4 – 10, (9) 50, (8) – 0.1–10. 1 – 10°C, $\tau_{обл}$ 10 мин (400–580 нм); 2 – 27°C, $\tau_{обл}$ 200 мин (400–580 нм). На кр. 2 указана ошибка определения степени модификации (\pm).

ни T4, содержащей четыре остатка гуанозина в сайте модификации, добиться практически количественного выхода фотопроявления.

В итоге, высокая эффективность сенсибилизированной фотомодификации ДНК-мишени T4 определяется наличием четырех остатков гуанозина в сайте модификации, G-специфичностью фотопроявления, и каталитическими свойствами сенсибилизатора, каждая молекула которого способна инициировать модификацию до 10 молекул мишени. Предлагаемая конструкция фотопроявления способного центра может привести к дополнительному увеличению специфичности сенсибилизированной фотомодификации за счет того, что любая замена остатков гуанозина в мишени T4 будет приводить не только к снижению стабильности неполностью комплементарного комплекса, но и к снижению выхода модификации такой ДНК вследствие более низкой эффективности реакции перфторароматических азидов по другим нуклеотидным остаткам. Дополнительным преимуществом фотопроявления способного центра в комплексе (XV) является то, что сенсибилизатор и фотопроявляющий реагент присоединены к остаткам цитозина, который модифицируется реагентом в значительно меньшей степени, чем гуанозин. Это должно предотвращать побочные процессы сшивки олигонуклеотидов-адресов

и самомодификации конъюгата (5), аналогичные отмеченным в работе [27].

В работе найдена оптимальная (pG)₄-последовательность ДНК, позволяющая количественно модифицировать мишень новой бинарной системой олигонуклеотидных конъюгатов, содержащей остатки антрацена и перфторарилазида. В дальнейшем планируется более детальное изучение свойств этой системы.

ЭКСПЕРИМЕНТАЛЬНАЯ ЧАСТЬ

В работе использовали 9-формилантрацен ("Рсахим", ч. д. а.).

ИК-спектры регистрировали на приборе UR-20 в таблетках KBr. Запись УФ-спектров и измерение оптической плотности растворов проводили на спектрофотометрах UV-2100 (Shimadzu, Япония) и Specord M40 (Carl Zeiss Jena, Германия). Спектры флуоресценции записывали на спектрофлуориметре MPF-4 (Hitachi, Япония). Спектры ¹H-ЯМР записаны на приборе Bruker-200A, внутренний стандарт – гексаметилендисилоксан. Температуру плавления определяли в запаянных капиллярах на установке "Кристалл". Скорость нагрева 0.3°C/мин.

Для выделения полученных олигонуклеотидных производных применяли метод ВЭЖХ с использованием жидкостного хроматографа Waters (США) в системе I (колонка 25 × 0.4 см, сорбент Nucleosil RP-18, 5–20 мкм (Merck, Германия), линейный градиент концентрации ацетонитрила в 0.05 M LiClO₄ от 0 до 40% за 40 мин, скорость элюции 3 мл/мин.

Значения коэффициентов молярного поглощения (ϵ_{260}) олигонуклеотидов рассчитывали с помощью компьютерной программы Oligos, использующей динуклеотидный метод [28].

Интенсивность падающего на образцы света определяли с помощью люксметра Ю-117 [29].

9-Антраценальдоксим получали из 9-формилантрацена по методу [30]. Выход 82%, т. пл. 158–161°C (т. пл. 161°C [30]). ¹H-ЯМР CD₃COCD₃ δ, м. д., (J, Гц): 11.02 (с, 1H, =NOH), 9.22 (с, 1H, N=CHAr), 8.59 (с, 1H, H10), 8.50 (dd, 2H, J_{1,2} = J_{8,7} 9, J_{1,3} = J_{6,8} 3, H1, H8), 8.08 (dd, 2H, J_{3,4} = J_{5,6} 9, J_{2,4} = J_{5,7} 3, H4, H5), 7.57 (м, 4H, H2, H3, H6, H7).

9-Аминометилантрацен гидрохлорид. В 15 мл 2 М HCl в метаноле суспендировали 0.5 г (2.25 ммоль) оксима и 0.1 г Pd-черни в атмосфере водорода интенсивно перемешивали в течение 2 ч. Смесь фильтровали от катализатора, который затем промывали метанолом. Растворы объединяли, упаривали до объема 2–3 мл и продукт осаждали прибавлением 30 мл эфира. Осадок растворяли в метаноле и четыре раза повторяли пересаждение эфиrom. Выход 0.21 г (38%), т. пл.

270–272°C. ^1H -ЯМР CD₃OD δ, м.д., (J, Гц): 8.64 (с, 1H, H10), 8.37 (д, 2H, J_{1,2} = J_{8,7} 9, H1, H8), 8.13 (дд, 2H, J_{3,4} = J_{5,6} 9, J_{2,4} = J_{5,7} 3, H4, H5), 7.71 (дт, 2H, J_{1,2} = J_{7,8} 9, J_{2,4} = J_{7,5} 1.5, H2, H7), 7.58 (дт, 2H, J_{3,2} = J_{6,7} 9, J_{1,3} = J_{4,6} 1.5, H3, H6), 5.17 (с, 2H, ArCH₂N). УФ-спектр, λ_{max}, нм (ε, M⁻¹ см⁻¹): 255 (150000), 332 (3000), 348 (6000), 365 (8500), 384 (7700).

Олигонуклеотиды T1, T2, T3 и T4 и олигонуклеотиды-адреса были синтезированы *H*-фосфонатным методом [31]. Вычисленные значения коэффициентов молекулярного поглощения олигонуклеотидов (ϵ_{260} , M⁻¹ см⁻¹): T1 (199000), T2 (196000), T3 (262800) и T4 (244400).

Олигонуклеотидные конъюгаты (2), (3), (5), (6) и (9). Фотореагент RH присоединяли по концевым фосфатам как описано в [19, 20]. Выход конъюгатов (2), (3), (5), (6) и (9) – 70–80%. УФ-спектр, λ, нм, (ε, M⁻¹ см⁻¹): (2) – 258 (110000), 310 (30000); (3) – 257 (108000), 310 (30000); (5) – 258 (100000), 310 (30000); (6) – 256 (100000), 310 (30000); (9) – 258 (66000), 309 (30000) – принимая, что во всех случаях конъюгат соответствует стехиометрическому соотношению олигонуклеотид/фотореагент – 1 : 1.

Бензантраценовое олигонуклеотидное производное (1). Этилендиаминовый спейсер присоединяли к 5'-концевому фосфату декануклеотида методом [32]. Олигонуклеотидное производное (1) получено аналогично [19]. Выход (1) – 65%. УФ-спектр, λ, нм, (ε, M⁻¹ см⁻¹): 258 (160000), 307 (55000), 367 (15000). Значение ϵ_{367} определено по навеске. Спектр поглощения производного (1) соответствует стехиометрическому соотношению олигонуклеотид/сенсибилизатор – 1 : 1 и равен сумме перпозиции спектров поглощения олигонуклеотида и 1,2-бенз-3-фтор-9-метилантраценил-10-уксусной кислоты.

Пиреновые производные декануклеотидов (4), (7) и антраценовое производное гентануклеотида (8) получали и выделяли как описано в [21]. Продукты выделяли методом ВЭЖХ. Выходы конъюгатов (4), (7) – 60–80%. УФ-спектр, λ, нм, (ε, M⁻¹ см⁻¹): (4) – 256 (104000), 347 (26000); (7) – 258 (103000), 347 (26000). Значения ϵ_{347} взяты из работы [21], где они были определены по навеске.

Выход конъюгата (8) – 75–80%. Спектр поглощения, λ, нм, (ε, M⁻¹ см⁻¹): 198 (150000), 255 (11000), 334 (2500), 350 (5500), 368 (8000), 388 (7500), если принять, что конъюгат соответствует стехиометрическому соотношению олигонуклеотид/сенсибилизатор – 1 : 1.

Фотомодификация ДНК-мишеней. Аликвоты по 5 мкл реакционной смеси, содержащей 0.1–1 мкМ раствор ДНК-мишеней и 0.1–50 мкМ растворы олигонуклеотидных производных реагента и сенсибилизатора в 6 мМ Na₂HPO₄ (рН 7.6), 0.2 М NaCl и 0.02 М EDTA, помещали в цилиндрические лунки иммунохимических планшетов

диаметром 4 мм, закрывали крышками, термостатировали при 21°C и облучали светом ртутной лампы ДРК-120 осветителя КФ-4М (ЛОМО, Санкт-Петербург) через следующие наборы стеклянных светофильтров (λ, нм; W, мВт см⁻²): БС-7, СЗС-23 (365–580; 1.1); ЖС-10, СС-15 (400–440; 0.35) или конденсированным светом осветителя ОИ-18А (ЛОМО, Санкт-Петербург) через наборы стеклянных светофильтров (λ, нм; W, мВт см⁻²): БС-8, СЗС-23 (380–580; 10); ЖС-10, СЗС-23 (400–580; 8.5).

Уменьшение объема раствора образцов, связанное с испарением, не превышало 20%. После облучения образцы (2 мкл) смешивали с 5 мкл раствора 7 М мочевины, содержащего 0.1% бромфенолового синего и 0.1% ксиленцианола FF, и анализировали методом 20% ПААГ-электрофореза (0.05 М Трис-борат, рН 7.4).

Экспонирование геля на рентгеновской пленке РМ-В с усиливающим экраном проводили в течение 8–24 ч при –10°C. Радиоавтографы гелей сканировали на лазерном денситометре 2222 Ultroskan-XL (LKB, Швеция). Степень модификации и выход продуктов расщепления по основаниям ДНК-мишеней рассчитывали как отношение площадей пиков аддуктов и продуктов к сумме площадей пиков всех продуктов и пика исходной ДНК. Ошибка определения степени модификации, как правило, не превышала 10%.

Настоящая работа была поддержанна Междисциплинарным грантом СО РАН по генной иммунизаций и генотерапии и грантом INTAS-RFBR 95-0653.

СПИСОК ЛИТЕРАТУРЫ

- Добриков М.И., Гайдамаков С.А., Гайнутдинов Т.И., Тенетова Е.Д., Шишкин Г.В., Власов В.В. // Биоорган. химия. 1999. Т. 25. С. 31–39.
- Knorre D.G., Vlassov V.V., Zarytova V.F., Lebedev A.V., Fedorova O.S. Design and targeted reactions of oligonucleotide derivatives. Boca Raton, Florida: CRC Press, 1994.
- Vlassov V.V. // The Lock- and Key Principle / Ed. J.-P. Behr. New York: Wiley, 1994. P. 89–147.
- Giovannangeli C., Thuong N.T., Helene C. // Nucl. Acids Res. 1992. V. 20. P. 4275–4281.
- Grigoriev M., Praseuth D., Guiyesse A.L., Robin P., Thuong N.T., Helehe C., Harel-Bellan A. // Proc. Natl. Acad. Sci. USA. 1993. V. 90. P. 3501–3505.
- Gunter E.J., Havre P.A., Gasparro F.P., Glazer P.M. // Photochem. Photobiol. 1996. V. 63. P. 207–212.
- Li H., Fedorova O.S., Trumble W.R., Fletcher T.R., Czuchajowsky L. // Bioconjugate Chem. 1997. V. 8. P. 49–56.
- Mastruzzo L., Woisard A., Ma D.D.F., Rizzarelli E., Favre A., LeDoan T. // Photochem. Photobiol. 1994. V. 60. P. 316–322.
- Boutorine A.S., Brault D., Takasugi M., Delgado O., Helene C. // J. Am. Chem. Soc. 1996. V. 118. P. 9469–9476.

10. Magda D., Wright M., Miller R.A., Sessler J.L., Samson P.J. // J. Am. Chem. Soc. 1995. V. 117. P. 3629–3630.
11. Magda D., Miller R.A., Wright M., Rao J., Sessler J.L., Iverson B.L., Samson P.J. // DNA and RNA Cleavers and Chemotherapy of Cancer and Viral Diseases / Ed. B. Meunier: NATO ASI Series; Dordrecht: Kluwer Acad. Publ., 1996. V. 479. P. 337–354.
12. Koshkin A.A., Kropachev K.Yu., Mamaev S.V., Bulychev N.V., Lokhov S.G., Vlassov V.V., Lebedev A.V. // J. Mol. Recogn. 1994. V. 7. P. 177–188.
13. Chatterjee M., Rokita S.E. // J. Am. Chem. Soc. 1994. V. 116. P. 1690–1699.
14. Breslin D.T., Coury J.E., Anderson J.R., McFail-Ism L., Kan Y., Williams L.D., Bottomly L.A., Shuster G.B. // J. Am. Chem. Soc. 1997. V. 119. P. 5043–5044.
15. Armitage B., Koch T., Frydenlund H., Orum H., Batz H.G., Schuster G.B. // Nucl. Acids Res. 1997. V. 25. P. 4674–4674.
16. Fisher W.G., Partridge W.P., Dees C., Wachter E.A. // Photochem. Photobiol. 1997. V. 66. P. 141–155.
17. Добриков М.И., Гайдамаков С.А., Кошкин А.А., Гайнутдинов Т.И., Лукъянчук Н.П., Шишкин Г.В., Власов В.В. // Биоорганическая химия. 1997. Т. 23. С. 557–563.
18. Добриков М.И., Гайдамаков С.А., Кошкин А.А., Лукъянчук Н.П., Шишкин Г.В., Власов В.В. // Докл. РАН. 1995. Т. 344. С. 122–125.
19. Vlassov V.V., Dobrikov M.I., Gaidamakov S.A., Gaidamakova E.K., Gainutdinov T.I., Koshkin A.A. // DNA and RNA Cleavers and Chemotherapy of Cancer and Viral Diseases / Ed. B. Meunier: NATO ASI Series; Dordrecht: Kluwer Acad. Publ., 1996. V. 479. P. 195–210.
20. Dobrikov M.I., Gaidamakov S.A., Gaidamakova E.K., Gainutdinov T.I., Koshkin A.A., Vlassov V.V. // Antisense Nucl. Acid Drug Develop. 1997. V. 7. P. 309–317.
21. Добриков М.И., Гайдамаков С.А., Кошкин А.А., Гайнутдинов Т.И., Лукъянчук Н.П., Шишкин Г.В., Власов В.В. // Биоорганическая химия. 1997. Т. 23. С. 191–199.
22. Добриков М.И., Гайдамаков С.А., Гайнутдинов Т.И., Тенетова Е.Д., Шишкин Г.В., Власов В.В. // Докл. РАН. 1998. Т. 358. С. 403–407.
23. Добриков М.И., Гайдамаков С.А., Шишкин Г.В., Власов В.В. // Биоорганическая химия. 1998. Т. 24. С. 831–838.
24. Levina A.S., Tabatadze D.R., Dobrikov M.I., Shishkin G.V., Khalimskaya L.M., Zarytova V.F. // Antisense Nucl. Acid Drug Develop. 1996. V. 6. P. 119–126.
25. Добриков М.И., Дудко Р.Ю., Левина А.С., Халимская Л.М., Шишкин Г.В. // Биоорганическая химия. 1996. Т. 22. С. 200–207.
26. Leyshon L.J., Reiser A. // J. Chem. Soc. Faraday Trans. 2. 1972. P. 1918–1927.
27. Казанцев А., Максакова Г.А., Федорова А.С. // Биоорганическая химия. 1995. Т. 21. С. 767–773.
28. Cantor C.R., Tinoco J. // J. Mol. Biol. 1965. V. 13. P. 65–77.
29. Соколов М.В. Прикладная биофотометрия. М.: Наука, 1982. С. 79–116.
30. Kenneth W.B., Tuttle R.L., Knick V.C., Cory M., McKee D.D. // J. Med. Chem. 1990. V. 33. P. 2385–2393.
31. Веньяминова А.Г., Горн В.В., Зенкова М.А., Комарова Н.И., Репкова М.Н. // Биоорганическая химия. 1990. Т. 16. С. 941–950.
32. Годовикова Т.С., Зарытова В.Ф., Халимская Л.М. // Биоорганическая химия. 1986. Т. 12. С. 475–481.

Sensitized DNA Photomodification by Binary Systems of Oligonucleotide Conjugates. V. The Target DNA Sequence Effect and the Quantitative Photomodification

M. I. Dobrikov[#], S. A. Gaidamakov, T. I. Gainutdinov, T. M. Ivanova, and V. V. Vlassov

Novosibirsk Institute of Bioorganic Chemistry, Siberian Division, Russian Academy of Sciences,
pr. Akademika Lavrent'eva 8, Novosibirsk, 630090 Russia

A sensitized photomodification of several single-stranded target DNAs by binary systems of oligonucleotide conjugates complementary to the adjacent regions of DNA was performed. One of the conjugates contained a sensitizer (pyrene, anthracene, or 1,2-benzanthracene), and another conjugate contained a photoreagent 4-azido-tetrafluorobenzalhydrazone. The sensitized photomodification is initiated by irradiation at 365–580 nm due to effective energy transfer from the excited sensitizer to the photoreagent in a complementary complex of the binary system with the target DNA where the sensitizer and photoreagent are brought sterically together. Conditions for the quantitative photomodification of a single-stranded DNA by the binary system of oligonucleotide conjugates were found. The maximum degree of photomodification depends on the number of guanosine residues in the (pG)_n sequence of the target DNA at the modification site: at n = 1 the yield of covalent adducts was 62–68%, at n = 2, 75–82%, and at n = 4, 98–99%.

Key words: antisense oligonucleotides, DNA photomodification, energy transfer, sensitization

[#] To whom correspondence should be addressed.